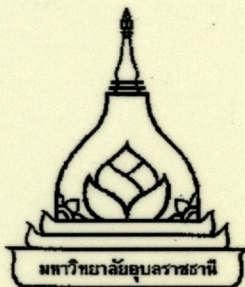




190931



## รายงานวิจัยฉบับสมบูรณ์

การศึกษาการเสียหายของชิ้นส่วนโครงสร้างรถยนต์โดยสาร  
ที่ผลิตภายในประเทศไทย ภายใต้แรงกระแทก

โดย

ผศ.ดร.ชวัลิต ถินวงศ์พิทักษ์ และคณะ

กรกฎาคม 2555

b00256015

ห้องสมุดงานวิจัย สำนักงานคณะกรรมการวิจัยแห่งชาติ



## รายงานวิจัยฉบับสมบูรณ์

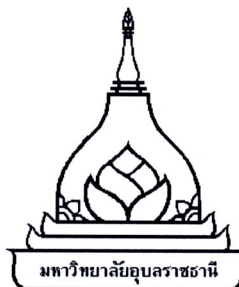
การศึกษาการเลี้ยงหายของชิ้นส่วนโครงสร้างรอยน์โดยสาร  
ที่ผลิตภายในประเทศไทย ภายใต้แรงกระแทก



โดย

ผศ.ดร.ชวัลิต พิทักษ์ ณ วนะ

กรกฎาคม 2555



## รายงานวิจัยฉบับสมบูรณ์

การศึกษาการเสียหายของชิ้นส่วนโครงสร้างรถยนต์โดยสาร  
ที่ผลิตภายในประเทศไทย ภายใต้แรงกระแทก

(The Study on the Crashworthiness of an Auto-Body Structure  
Manufactured in Thailand)

คณะผู้วิจัย

สังกัด

1. ผศ.ดร.ชาลิต ถินวงศ์พิทักษ์ ภาควิชาวิศวกรรมเครื่องกล คณะวิศวกรรมศาสตร์  
มหาวิทยาลัยอุบลราชธานี

2. นายชาคริต โพธิ์งาม ภาควิชาวิศวกรรมเครื่องกล คณะวิศวกรรมศาสตร์  
มหาวิทยาลัยอุบลราชธานี

โครงการนี้ได้รับทุนอุดหนุนการวิจัยจากมหาวิทยาลัยอุบลราชธานี

ประจำปีงบประมาณ 2548-2549

(ความเห็นในรายงานนี้เป็นของผู้วิจัย มหาวิทยาลัยอุบลราชธานีไม่จำเป็นต้องเห็นด้วยเสมอไป)

## กิตติกรรมประกาศ

งานวิจัยนี้สำเร็จลุล่วงไปได้ด้วยดี โดยการให้ความร่วมมือ การสนับสนุน และความอนุเคราะห์จากบุคลากรหลายฝ่าย และหน่วยงานหลายองค์กร ซึ่งคณะกรรมการผู้วิจัยต้องขอขอบพระคุณมา ณ โอกาสันนี้ดังนี้

ขอขอบคุณอู่ต่อรัตน์ โอดิสารต่างๆที่เปิดโอกาสให้คณะวิจัยเข้าพนและเก็บข้อมูล ซึ่งจะขอกล่าวถึงในที่นี้ได้แก่ สมาคมอู่ต่อรัตน์บ้านโป่ง อำเภอบ้านโป่ง จังหวัดราชบุรี โดยเฉพาะอย่างยิ่ง บ.อู่มีแสง จำก. บ.สหกิจยนต์ (1986) จำก. (อู่วิ吉ศิลป์) หจก.บ้านโป่งล่างเงย บ.ก้าวหน้า แอร์บัส จำก. หจก. เอกวัตร (1994) เป็นต้น นอกจากนี้ยังขอขอบคุณ อู่สามัคคี จ. อุบลราชธานี และอู่ต่อรัตน์อื่นๆ ซึ่งไม่มีชื่อย่ออย่างเป็นทางการ ตลอดจนขอขอบคุณสถาบันyanยนต์ ที่ให้ความอนุเคราะห์ข้อมูลอันเป็นประโยชน์

ขอขอบคุณ พศ.ดร.สุริยา โชคสวัสดิ์ Mr.Lee Meng Fuk ที่อำนวยความสะดวกในการทดสอบและช่วยเหลือในการปรับปรุงเครื่องทดสอบ Universal Testing Machine จนสำเร็จ และขอขอบคุณบุคลากรของภาควิชาวิศวกรรมเครื่องกล และภาควิชาวิศวกรรมอุตสาหการ คณะวิศวกรรมศาสตร์ มหาวิทยาลัยอุบลราชธานี ที่ให้การสนับสนุนการทำงานตลอดการวิจัย อีกทั้งขอขอบคุณภาควิชาวิศวกรรมเครื่องกล คณะวิศวกรรมศาสตร์ มหาวิทยาลัยขอนแก่น ที่อนุเคราะห์เครื่องมือทดสอบเพิ่มเติม

ขอขอบคุณทีมงานผู้วิจัยทุกท่านที่ทุ่มเททำงานวิจัยอย่างเต็มที่ เมื่อว่างท่านไม่ได้มีชื่อในข้อเสนอ ก็ตาม โดยเฉพาะอย่างยิ่ง นายนิรุต อ่อนสลุง ที่ได้ทำงานในรายละเอียดจำนวนมาก และท้ายที่สุดขอขอบคุณสำนักงานคณะกรรมการวิจัยแห่งชาติ (วช.) และมหาวิทยาลัยอุบลราชธานี ที่ให้ทุนในการศึกษาวิจัยนี้

คณะผู้วิจัย

เมษายน 2553

## บทคัดย่อ

**190931**

งานวิจัยนี้มีวัตถุประสงค์เพื่อศึกษาความสามารถในการรับแรงกระแทกจากการชนของโครงสร้างรถชนต์โดยสารที่ต่อขึ้นในประเทศไทย โดยมุ่งทำการศึกษาเชิงส่วนลดักของโครงสร้างได้แก่ แผงด้านข้างลำตัว โครงสร้างหลังคา โครงสร้างประตูบานและรูปแบบการยึดต่อต่างๆ การศึกษาริบบิ่งตั้งแต่การเก็บข้อมูลพื้นฐานที่เกี่ยวข้อง จากนั้นมีการทำการทดลองเพื่อการสอบเทียนโปรแกรมและขีนยันผล ซึ่งโปรแกรมที่ใช้เป็นเครื่องมือในการวิจัยนี้คือโปรแกรมสำเร็จรูปทางไฟไนต์เอลิเมนต์ (FEA) ชื่อ ABAQUS และวิจัยได้นำโปรแกรมสำเร็จรูปดังกล่าวซึ่งยืนยันผลแล้วมาใช้ในการสร้างแบบจำลองโครงสร้างหลังคา เพื่อขยายขอบเขตการศึกษาให้สามารถทำการศึกษาโครงสร้างขนาดเท่าจริง และมีความซับซ้อนขึ้นได้

การเก็บข้อมูลจากอู่ต่อรถชนต์โดยสารต่างๆ และพบว่าลักษณะแห่งโครงสร้างด้านข้างรถชนต์โดยสารที่นิยมใช้งานมี 3 รูปแบบ คือ 1) การต่อโครงสร้างแบบบาน 2) การต่อโครงสร้างแบบทแยงมุมและ 3) การต่อโครงสร้างแบบสลับฟันปลา ส่วนโครงสร้างหลังคาพบว่ามักนิยมต่อใน 2 ลักษณะ คือการต่อแบบบานและการต่อแบบทแยง คณะวิจัยได้ทำการสอบเทียนโปรแกรม FEA โดยใช้สร้างแผงด้านข้างทั้ง 3 แบบ แต่ในขนาดเพียง 1 ช่อง ไปทำการทดลองรับแรงกระแทกในแนวแกน ภาระดัด และภาระบิด ด้วยความเร็วต่ำ และนำไปทดลองรับแรงกระแทกด้วยความเร็วสูง ในแนวแกน และนำผลที่ได้ไปเปรียบเทียบกับแบบจำลองที่สร้างขึ้นด้วยโปรแกรม FEA ภายใต้เงื่อนไขเดียวกัน พบว่าโปรแกรมที่ใช้งานสามารถให้ผลการคำนวณได้ใกล้เคียงกับการทดลอง ซึ่งสามารถนำไปประยุกต์ใช้ในการจำลองโครงสร้างขนาดจริงได้ นอกจากนี้ยังพบว่าโครงสร้างที่ต่อแบบบานมีแนวโน้มรับภาระจากการชนในแนวแกนและการดัดได้ดีที่สุด แต่โครงสร้างแบบทแยงมุมและสลับฟันปลากลับสามารถดูดซับพลังงานจากการชนได้ดีกว่าโครงสร้างด้านข้างที่ต่อแบบบาน

ในการจำลองการชนของโครงสร้างด้านข้างรถชนต์โดยสารที่ต่อแบบเต็มแผงด้วยวิธี FEA สำหรับการชนในแนวแกนและการชนในแนวตั้งจากนั้น พบว่าโครงสร้างด้านข้างที่ต่อแบบบานสามารถดูดซับพลังงานได้ดีกว่าโครงสร้างที่ต่อแบบทแยงมุมและต่อแบบสลับฟันปลา ผลการทดสอบโครงสร้างหลังคาแบบเต็มแผงภายใต้ภาระการชนในแนวแกน พบว่าภายใต้การทดสอบด้วยภาระการชนในแนวแกนและการชนแบบคัด การต่อเสริมโครงสร้างหลังคาแบบบานสามารถดูดซับพลังงานจากการชนได้ดีกว่าโครงสร้างที่ต่อแบบบิด พนักงานว่าโครงสร้างที่ต่อแบบทแยงสามารถดูดซับพลังงานได้ดีกว่า จากนั้นได้ทำการทดสอบโครงสร้างหลังคาที่มีชิ้นส่วนเสริมความแข็งแรงหน้าตัดต่างๆ ด้วยภาระการชนในแนวแกน โดย

เปลี่ยนหน้าตัดของชิ้นส่วนเสริมความแข็งแรง 4 แบบ คือหน้าตัดครูปสี่เหลี่ยม หน้าตัดครูปตัวยู หน้าตัดครูปวงกลมและหน้าตัดครูปตัวแอล ผลการศึกษาพบว่าโครงสร้างหลังคาที่ต่อเสริมด้วยเหล็กหน้าตัดครูปวงกลม สามารถดูดซับพลังงานจากการชนได้ดีกว่าการต่อเสริมด้วยหน้าตัดแบบอื่นๆ สำหรับการทดสอบโครงสร้างประกอบที่ประกอบจากโครงสร้างหลังคา กับแพลงค์น้ำข้างของรัถยนต์โดยสารแบบต่างๆกัน 6 แบบ พบร่วมกับโครงสร้างประกอบที่ต่อจากแพลงค์น้ำข้างแบบนานกับโครงสร้างหลังคาแบบนานา สามารถดูดซับพลังงานจากการชนได้มากกว่าการต่อสลับกันของโครงสร้างแบบอื่นๆ นอกจากนี้ในการทดสอบลักษณะของชิ้นส่วนบีดต่อโครงสร้างหลังคา กับโครงสร้างคันข้างรัถยนต์โดยสาร พบร่วมกับการต่อโครงสร้างแบบที่ 3 สามารถดูดซับพลังงานจากการชนได้ดีกว่า การบีดต่อแบบอื่นๆ รายละเอียดของความสามารถในการดูดซับพลังงาน ลักษณะกราฟภาระ-ระยะ ยุบตัว และลักษณะการเสียหายของชิ้นส่วน โครงสร้างรัถยนต์โดยสารแต่ละชิ้นส่วนได้แสดงและอภิปรายโดยรายละเอียดในรายงาน

## ABSTRACT

190931

This research was aimed to study the crashworthiness of Thai-manufactured bus body and its energy absorption capacity. The study focused on only main components of the body i.e. the bus side wall, roof structure, assembled body and some joint patterns. The study was begun by surveying for data from Thai bus manufacturers. Then, experimental work was conducted in order to verify the commercial computer package (Finite Element Analysis, namely ABAQUS). Then, the verified FEA program was used to model the actual size structures in order to investigate their behaviors subjected to various crashing loads.

According to the survey, it was found that there are three patterns of the side wall generally used in Thailand, which are the horizontally-parallel pattern, the diagonally-parallel pattern and the head-to-tail diagonal pattern. For the roof structure, two patterns were generally used i.e. the horizontally-parallel and the diagonally-parallel patterns. The three patterns of side wall were manufactured and tested under quasi-static axial crushed, bending load and twisting load, as well as under dynamic impact axial crush. The results revealed that the horizontally-parallel pattern tends to absorb more crush energy than other two patterns. However, in case of twisting load, the diagonally-parallel and the head-to-tail diagonal patterns seem to absorb more energy. The experimental result was also compared with the simulation result by FEA program. Good agreement with acceptable error was achieved. Therefore, the program was used for investigating further on the behavior of actual size and more complex components.

Considering the actual size and whole bus side frame under axial and side impact, it was revealed that the horizontally-parallel pattern provides higher energy absorption than that of the diagonally-parallel and head-to-tail diagonal patterns. In cases of the bus roof frame, the result suggested that under axial and bending loads the parallel pattern provides more energy absorption than that of the diagonal one. In contrast, for the twisting load, the diagonal pattern has more energy absorption. This study also investigated the crush capacity of the roof with various sections of supplementary elements. These sections were circular, square, L-shape and U-shape. The results revealed that the roof with circular supplementary elements provides highest energy absorption and highest specific energy absorption. The assembled bus bodies, which were composed of different patterns of bus side frames and roof frames, were tested under axial crush

190931

1

in order to investigate their crush characteristic. It was found that the parallel side wall pattern combined with the parallel roof pattern gives higher energy absorption than that of other combinations. In addition, the different types of joint elements between the roof and side wall were also tested. It was found that the joint type 3 provides highest energy absorption. Detail of energy absorption capacity, load-displacement curve and deformation mode of each element of the bus body were reported and discussed in the report.

## สารบัญ

	หน้า
กิตติกรรมประกาศ	ก
บทคัดย่อภาษาไทย	ข
บทคัดย่อภาษาอังกฤษ	ง
<b>สารบัญ</b>	<b>ฉ</b>
สารบัญตาราง	ภ
สารบัญภาพ	ภ
คำอธิบายสัญลักษณ์และคำย่อ	ด

### บทที่ 1 บทนำ

1.1 ความเป็นมาและความสำคัญของปัญหา	1
1.2 วัตถุประสงค์ของงานวิจัย	2
1.3 ขอบเขตของงานวิจัย	2
1.4 ประโยชน์ที่คาดว่าจะได้รับ	3
1.5 ขั้นตอนการศึกษา	3
1.6 โครงสร้างของรายงาน	4

### บทที่ 2 ข้อมูลพื้นฐาน ทฤษฎีและงานวิจัยที่เกี่ยวข้อง

2.1 ลักษณะและข้อมูลของรถยนต์โดยสาร	6
2.1.1 มาตรฐานที่ 1 รถปรับอากาศพิเศษ	6
2.1.2 มาตรฐานที่ 2 รถปรับอากาศทั่วไป	6
2.1.3 มาตรฐานที่ 3 รถยนต์โดยสารที่ไม่มีเครื่องปรับอากาศ	7
2.1.4 มาตรฐานที่ 4 รถยนต์โดยสารสองชั้น	7
2.1.5 มาตรฐานที่ 5 รถยนต์โดยสารแบบพ่วง	7
2.1.6 มาตรฐานที่ 6 รถยนต์โดยสารแบบกึ่งพ่วง	8
2.1.7 มาตรฐานที่ 7 รถยนต์โดยสารแบบเฉพาะกิจ	8
2.2 มาตรฐานสากลในการทดสอบรถยนต์	13

## สารบัญ (ต่อ)

	หน้า
2.2.1 มาตรฐานความปลอดภัยของสหพันธ์ยานยนต์ (FMVSS)	13
2.2.2 มาตรฐานการประเมินและการทดสอบรถชนตัวใหม่ (NCAP)	13
2.2.3 มาตรฐานความปลอดภัยบนทางด่วน (IIHS)	15
<b>2.3 การศึกษาชิ้นส่วนรับแรงกระแทก</b>	<b>15</b>
2.3.1 ภาระวิกฤติหรือภาระเสียหาย	15
2.3.2 ภาระสูงสุด	16
2.3.3 ภาระเฉลี่ย	16
2.3.4 พลังงานดูดซับ	16
2.3.5 พลังงานดูดซับจำเพาะ	17
2.3.6 ประสิทธิภาพการยุบตัว	18
2.3.7 ประสิทธิภาพพลังงานดูดซับ	19
2.3.8 ประสิทธิภาพของการ	20
<b>2.4 การทดสอบคุณสมบัติของวัสดุที่ใช้ในการศึกษา</b>	<b>20</b>
2.4.1 ความเก็บทางวิศวกรรม	20
2.4.2 ความเครียดทางวิศวกรรม	21
2.4.3 โมดูลัสความยืดหยุ่น	22
2.4.4 ความเก็บที่เกิดขึ้นจริง	22
2.4.5 ความเครียดที่เกิดขึ้นจริง	22
2.4.6 Plastic Strain	23
<b>2.5 ระเบียบวิธีไฟในท่ออลิเมนต์</b>	<b>23</b>
2.5.1 พื้นฐานทางไฟในท่ออลิเมนต์	23
2.5.2 วิธีการคำนวณในโปรแกรมไฟในท่ออลิเมนต์	25
<b>2.6 งานวิจัยที่เกี่ยวข้อง</b>	<b>25</b>
2.6.1 งานวิจัยที่เกี่ยวกับการศึกษาการชนของชิ้นส่วนโครงสร้างรถชนตัว	27
2.6.2 การศึกษาเกี่ยวกับการนาคเจ็บจากการกระแทก	32

## สารบัญ (ต่อ)

	หน้า
<b>บทที่ 3 การสำรวจข้อมูลและข้อมูลโครงสร้างรถยนต์โดยสาร</b>	
3.1 วิธีการเก็บข้อมูล	37
3.2 การบริหารการผลิตรถยนต์โดยสารในประเทศไทย	37
3.3 ข้อมูลโครงสร้างรถยนต์โดยสาร	38
3.3.1 โครงสร้างด้านข้างลำตัวรถยนต์โดยสาร	38
3.3.2 โครงสร้างหลังคาของรถยนต์โดยสาร	43
3.3.3 โครงสร้างด้านหน้ารถยนต์โดยสาร	44
3.3.4 โครงสร้างด้านหลังรถยนต์โดยสาร	45
<b>บทที่ 4 เครื่องมือที่ใช้ในการศึกษาและรายละเอียดวิธีการศึกษา</b>	
4.1 เครื่องมือที่ใช้ในการศึกษา	46
4.1.1 เครื่องทดสอบการกดและการดึง	46
4.1.2 เครื่องทดสอบการกระแทก	47
4.1.3 เครื่องคอมพิวเตอร์	49
4.1.4 เครื่องมือและอุปกรณ์อื่นๆ	49
4.2 คุณสมบัติทางกลของวัสดุที่ใช้ในการประกอบโครงสร้าง	
รถยนต์โดยสาร	49
4.3 โปรแกรม FEA ที่ใช้ในการศึกษา (ABAQUS)	52
4.3.1 ส่วนของการสร้างแบบจำลอง	52
4.3.2 ส่วนของการคำนวณผล	53
4.3.3 ส่วนของการแสดงผลของโปรแกรม	53
4.4 การสอบเทียบโปรแกรม FEA กับการทดลอง	54
4.4.1 รายละเอียดของการสอบเทียบภายใต้ภาระการชนด้วย	
ความเร็วต่ำ	55
4.4.2 รายละเอียดของการสอบเทียบภายใต้ภาระการชนด้วย	
ความเร็วสูง	59
4.5 การหาจำนวนэลิเมนต์อิสระ (Mesh Independence)	61

## สารบัญ (ต่อ)

หน้า

4.6 การทดสอบการชนของโครงสร้างด้านข้างของรถยนต์โดยสาร	62
4.6.1 โครงสร้างและส่วนประกอบของรถยนต์โดยสาร	62
4.6.2 ลักษณะแบบจำลองโครงสร้างด้านข้างที่ใช้ในการศึกษา	63
4.6.3 การทดสอบโครงสร้างด้านข้างแบบเติมโครงสร้าง	64
4.7 การทดสอบการชนของโครงสร้างหลังคาโดยสาร	65
4.7.1 การทดสอบโครงสร้างหลังคาแบบที่ใช้ในปัจจุบัน	66
4.7.2 การทดสอบโครงสร้างหลังคาที่มีการเสริมความแข็งแรง ด้วยเหล็กหนาตัดต่างๆ	66
4.8 การทดสอบการชนในแนวแกนของโครงสร้างประกอบที่ ต่อระหว่างโครงสร้างหลังคา กับ โครงสร้างด้านข้าง	67
4.9 การทดสอบลักษณะการยึดต่อระหว่างโครงสร้างหลังคา กับ แผงโครงสร้างด้านข้างของรถยนต์โดยสาร	68
<b>บทที่ 5 ผลการศึกษาและวิเคราะห์ผล</b>	
5.1 ผลการสอนเทียบระหว่างการทดลองกับการทดสอบด้วย โปรแกรม FEA	70
5.1.1 ผลการสอนเทียบภายในภายนอกกับการชนด้วยความเร็วต่ำ	70
5.1.2 ผลการสอนเทียบภายในภายนอกกับการชนด้วยความเร็วสูง	78
5.2 ผลการทดสอบการชนของโครงสร้างด้านข้างโดยสาร	
5.2.1 การตอบสนองของโครงสร้างด้านข้างรถยนต์โดยสาร ภายในภายนอกตั้งแต่ 0 ถึง 100% ของความเร็ว	83
5.2.2 การตอบสนองของโครงสร้างด้านข้างรถยนต์โดยสาร ภายในภายนอกตั้งแต่ 0 ถึง 100% ของความเร็ว	84
5.2.3 ค่าการดูดซับพลังงานที่ได้จากการทดสอบโครงสร้าง ด้านข้างทั้ง 3 แบบ	86
5.3 ผลการทดสอบการชนของโครงสร้างหลังคาโดยสาร	87
	89

## สารบัญ (ต่อ)

หน้า	
89	5.3.1 ผลการทดสอบโครงสร้างหลังคาแบบที่ใช้ในปัจจุบัน
94	5.3.2 ผลการทดสอบการชนของโครงสร้างหลังคาที่มีการเสริม ความแข็งแรงด้วยเหล็กหน้าตัดต่างๆ
98	5.4 ผลการทดสอบการชนของโครงสร้างประกอบที่ต่อระหว่าง โครงสร้างหลังคา กับ โครงสร้างด้านข้าง
98	5.4.1 การตอบสนองการชนของโครงสร้างประกอบที่ต่อระหว่าง โครงสร้างหลังคา กับ โครงสร้างด้านข้าง
100	5.4.2 ค่าการดูดซับพลังงานจากการชนของโครงสร้างประกอบ ที่ต่อระหว่างโครงสร้างหลังคา กับ โครงสร้างด้านข้าง
101	5.5 ผลการทดสอบลักษณะการยึดต่อระหว่างโครงสร้างหลังคา กับ เพลง โครงสร้างด้านข้างของรถยนต์โดยสาร
101	5.5.1 การตอบสนองการชนของโครงสร้างประกอบที่ยึดต่อด้วย ชิ้นส่วนยึดต่อลักษณะต่างๆ
104	5.5.2 ค่าการดูดซับพลังงานจากการชนของโครงสร้างประกอบ ที่ต่อระหว่างโครงสร้างหลังคา กับ โครงสร้างด้านข้าง
<b>บทที่ 6 สรุปผลการศึกษาและข้อเสนอแนะ</b>	
105	6.1 สรุปผลการศึกษา
105	6.1.1 ผลการสอนเทียบโปรแกรม FEA กับการทดสอบ
106	6.1.2 การทดสอบการชนของโครงสร้างด้านข้างรถยนต์โดยสาร แบบเต็มเพง
106	6.1.3 การทดสอบการชนของโครงสร้างหลังคาการถอย退ต์โดยสาร
107	6.1.4 การทดสอบการชนของโครงสร้างประกอบที่ต่อระหว่าง โครงสร้างหลังคา กับ โครงสร้างด้านข้างแบบต่างๆ
107	6.1.5 การทดสอบลักษณะการยึดต่อระหว่างโครงสร้างหลังคา กับ โครงสร้างด้านข้างรถยนต์โดยสาร
107	6.2 ข้อเสนอแนะในการศึกษาต่อไป

## สารบัญ (ต่อ)

หน้า

6.2.1 เกี่ยวกับกระบวนการผลิต	108
6.2.2 เกี่ยวกับมาตรฐานความปลอดภัยของรถยนต์โดยสาร ในประเทศ	108
6.2.3 เกี่ยวกับการศึกษาโครงสร้างรถยนต์โดยสารเพิ่มเติม	108
<b>เอกสารอ้างอิง</b>	<b>109</b>
<b>ภาคผนวก</b>	
ก ตัวอย่างการคำนวณจากการทดสอบ	116
ข รายการผลงานตีพิมพ์เนื่องจากงานวิจัยนี้	123

## สารบัญตาราง

	หน้า
<b>ตารางที่</b>	
2.1 ข้อมูลและรายละเอียดของรถยนต์โดยสารแต่ละมาตรฐาน	8
2.1 (ต่อ) ข้อมูลและรายละเอียดของรถยนต์โดยสารแต่ละมาตรฐาน	9
2.2 ข้อมูลจำเพาะของนาครถยนต์โดยสารตามมาตรฐาน	10
2.3 พิกัดนำหนักร่วมสูงสุดและนำหนักลงเพลาตามกรมทางหลวงกำหนด	11
2.4 สถิติจำนวนรถยนต์โดยสารที่จดทะเบียนใหม่ระหว่างปี 2534-2548	12
2.5 แสดงค่ารัศมีส่วนโค้งของมุมชิ้นงานทดสอบที่ต่ำแห่นงต่างๆ ของกล่องอลูมิเนียม	28
2.6 แสดงระยะเช่าร่องและพลังงานคูดซับที่ได้มีเปลี่ยนระยะการเช่าร่องชิ้นงาน	29
3.1 ความหนาและขนาดของวัสดุที่ใช้ทำโครงสร้างด้านข้างของรถยนต์โดยสาร	39
4.1 คุณสมบัติเบื้องต้นจากการทดสอบวัสดุ	51
4.2 แสดงตัวอย่างค่าความเค้นจริง (True Stress) และความเคี่ยดจริง (True Strain) และค่า Plastic Strain ที่ได้จากการทดสอบวัสดุ	51
5.1 ผลการคำนวณค่าการคูดซับพลังงานที่ได้จากการทดสอบและตัวแปรที่เกี่ยวข้อง กายได้ภาระความเร็วต่ำที่กระทำแบบกดในแนวแกน แบบดัดและแบบบิด	77
5.2 ผลการคำนวณค่าการคูดซับพลังงานที่ได้จากการทดสอบและตัวแปรที่เกี่ยวข้อง กายได้ภาระความเร็วสูง	82
5.3 แสดงผลการคำนวณค่าพลังงานคูดซับของโครงสร้างที่ได้จากการทดสอบ	88
5.4 ค่าพลังงานคูดซับ ( $E_a$ ) และค่าพลังงานคูดซับจำเพาะ ( $E_s$ ) จากแบบจำลอง ทาง FEA ของโครงสร้างหลังคาภายใต้ภาระแบบต่างๆ	93
5.5 ค่าพลังงานคูดซับ ( $E_a$ ) และค่าพลังงานคูดซับจำเพาะ ( $E_s$ ) จากแบบจำลอง ทาง FEA ของโครงสร้างหลังคาที่ใช้ชิ้นส่วนต่อเสริมหน้าตัดที่ต่างกัน	97
5.6 ผลการคำนวณของการทดสอบการชนในแนวแกนของการต่อสลับระหว่าง โครงสร้างด้านข้างกับโครงสร้างหลังคารถยนต์โดยสาร	100
5.7 ค่าพลังงานคูดซับของโครงสร้างประกอบที่มีชิ้นส่วนยึดต่อแบบต่างๆ	104

## สารบัญภาพ

หน้า

### ภาพที่

2.1	แสดงลักษณะการทดสอบการชนด้านหน้าตามมาตรฐานการทดสอบรถยนต์ใหม่	14
2.2	แสดงมาตรฐานการทดสอบการชนคนเดินเท้าของการทดสอบรถยนต์ใหม่	14
2.3	แสดงมาตรฐานการทดสอบการชนด้านข้างของการทดสอบรถยนต์ใหม่	15
2.4	แสดงความสัมพันธ์ระหว่างค่าภาระและระยะยุบตัว (Load - Displacement Curve)	16
2.5	แสดงระยะยุบตัวของชิ้นงานที่มีความหนาแตกต่างกันอยู่ภายใต้เงื่อนไข ขอบเขตเดียวกัน	18
2.6	แสดงเส้นกราฟของการยุบตัวภายใต้ภาระการชนกระแทก	19
2.7	กราฟแสดงความสัมพันธ์ของความเคี้ยวและความเครียด	21
2.8	แสดงกราฟของพลังงานภายในเทียบกับระยะยุบตัวเมื่อเกิดการชน	27
2.9	แสดงชิ้นส่วนที่ทดสอบและบริเวณจุดที่พิจารณา	28
2.10	กราฟแสดงความสัมพันธ์ของภาระและระยะยุบตัว	29
2.11	แสดงรูปหลักฐานของการตรวจสอบชิ้นงานที่ใช้ในการทดสอบ	29
2.12	แสดงเส้นรอยพับของชิ้นงานโลหะรูปสี่เหลี่ยมตามทฤษฎีของ Kecman's	30
2.13	กราฟแสดงความสามารถของร่างกายมนุษย์ในการรองรับแรงกระแทก จากเหตุการณ์ที่ต่างกัน เมื่อเกิดอัตราเร่ง	33
2.14	กราฟแสดงความสัมพันธ์ระหว่างอัตราส่วน ( $a/g$ ) กับเวลาในการรับแรง กระแทก	34
2.15	แสดงกราฟความสัมพันธ์ระหว่างค่าการบาดเจ็บของศีรษะ HIC กับความเร็ว ในการชนกระแทก $v_2$ และอัตราส่วนความเร่งกับแรงดึงดูดของโลก ( $a/g$ )	36
3.1	แสดงโครงสร้างด้านข้างของรถยนต์โดยสารจริง และภาพจำลอง	38
3.2	แสดงชิ้นส่วนโครงสร้างด้านข้างของรถยนต์โดยสาร	39
3.3	แสดงลักษณะการเชื่อมต่อโครงสร้างด้านข้างกับแซลซี	40
3.4	แสดงชิ้นส่วนโครงสร้างด้านข้างบริเวณที่เสริมความแข็งแรง	41
3.5	แสดงการเชื่อมต่อชิ้นส่วนโครงสร้างบริเวณด้านล่างเพื่อเสริมความแข็งแรง	41
3.6	แสดงการต่อแบบเว็บช่องว่างของชิ้นส่วนโครงสร้างด้านข้างเพื่อเสริมรอยเชื่อม	42
3.7	แสดงการต่อโครงสร้างด้านข้างกับชิ้นส่วนโครงสร้างแนวตั้งและแนวอน	42

## สารบัญภาพ (ต่อ)

หน้า

### ภาพที่

3.8	แสดงการต่อโครงสร้างด้านข้างกับชิ้นส่วนที่เสริมความแข็งแรงแบบชนวน	43
3.9	แสดงโครงสร้างหลังการถอยต์โดยสาร	44
3.10	แสดงการเชื่อมต่อโครงสร้างด้านข้างกับโครงสร้างหลังการถอยต์โดยสาร	44
3.11	แสดงโครงสร้างด้านหน้าของรถยกต์โดยสาร	45
3.12	แสดงโครงสร้างด้านหลังรถยกต์โดยสาร	45
4.1	เครื่องทดสอบ Compressive & Tensile Test Machine และชุดคอมพิวเตอร์ควบคุม	47
4.2	เครื่องทดสอบการกระแทกแบบ Drop Hammer Tower ที่ออกแบบและสร้างขึ้นเพื่อใช้ในงานวิจัย	48
4.3	ตัวอย่างชิ้นงานที่ผ่านการทดสอบหาค่าคุณสมบัติทางกลของวัสดุ	50
4.4	แสดงกราฟของระยะยืด (Extension) และภาระ (Load) ที่ได้จากการทดสอบวัสดุ	50
4.5	แสดงลักษณะหน้าจอของโปรแกรม ABAQUS\CAE	53
4.6	แสดงตัวอย่างของ Input Files ที่ใช้ในโปรแกรม ABAQUS	54
4.7	แสดงชิ้นส่วนของโครงสร้างที่สร้างขึ้นสำหรับใช้ในการทดสอบ	55
4.8	แสดงเครื่องมือที่สร้างขึ้นเพื่อจับยึดโครงสร้างและการทดสอบที่ใช้ทั้ง 3 แบบ	56
4.9	แสดงชิ้นส่วนของโครงสร้างที่สร้างขึ้นในคอมพิวเตอร์	58
4.10	แสดงลักษณะการจับยึดโครงสร้างที่ใช้ในโปรแกรมคอมพิวเตอร์	58
4.11	แสดงการจัดวางชิ้นงานทดสอบในเครื่องทดสอบการกระแทก	59
4.12	แสดงตัวอย่างแบบจำลองทาง FEA ของโครงสร้างภายใต้การกระแทกด้วยความเร็วสูง	60
4.13	แสดงกราฟการหาค่าจำนวนเอกสารต์ที่เหมาะสม โดยใช้พลังงานคุดซับเป็นตัวชี้วัด	61
4.14	แสดงรูปแบบจำลองทาง FEA ของส่วนประกอบโครงสร้างรถยกต์โดยสาร	63
4.15	แสดงรูปแบบจำลองทาง FEA ของส่วนประกอบโครงสร้างแผงด้านข้างรถยกต์โดยสาร ที่มีการต่อชิ้นส่วนเสริมความแข็งแรงแบบต่างๆ	64
4.16	แสดงวิธีเตรียมการก่อนทดสอบในโปรแกรมไฟในเอกสารต์	65
4.17	แสดงรูปแบบการต่อโครงสร้างหลังการถอยต์โดยสาร	66
4.18	แสดงลักษณะหน้าตัดของชิ้นส่วนเสริมโครงสร้างหลังการถอยต์โดยสาร	67

## สารบัญภาพ (ต่อ)

หน้า

### ภาพที่

4.19	แสดงรูปแบบการต่อประกอบกันของโครงสร้างด้านข้างกับโครงสร้างหลังคาของ รถยนต์โดยสาร	68
4.20	แสดงรูปแบบการต่อเสริมความแข็งแรงของการยึดต่อโครงสร้างหลังคา กับแผง โครงสร้างด้านข้างของรถยนต์โดยสาร	69
5.1	แสดงรูปแบบการเสียหายของโครงสร้างจากการทดสอบภายใต้ภาระแบบกด ในแนวแกน	71
5.2	แสดงกราฟค่าภาระที่กระทำกับระยะยุบตัวจากการทดสอบของโครงสร้าง ที่ต่อทั้ง 3 แบบ ภายใต้ภาระการกดในแนวแกน	72
5.3	แสดงรูปแบบการเสียหายของโครงสร้างจากการทดสอบด้วยวิธี FEA ภายใต้ ภาระการกดในแนวแกน	73
5.4	แสดงกราฟค่าภาระที่กระทำกับระยะยุบตัวจากการทดสอบด้วย FEA ของ โครงสร้างทั้ง 3 แบบ ภายใต้ภาระการกดในแนวแกน	73
5.5	แสดงรูปแบบการเสียหายของโครงสร้างจากการทดสอบ ภายใต้ภาระแบบดัด	74
5.6	แสดงรูปแบบการเสียหายภายใต้ภาระการดัด โดยการทดสอบด้วยวิธี FEA	75
5.7	แสดงรูปแบบการเสียหายของโครงสร้างที่ได้จากการทดสอบภายใต้ภาระ กระทำแบบบิด	75
5.8	แสดงรูปแบบการเสียหายจากการทดสอบด้วยวิธี FEA ภายใต้ภาระที่กระทำแบบบิด	76
5.9	ลักษณะการเสียหายของโครงสร้างทั้ง 3 แบบจากการทดสอบกระแทกด้วยความเร็วสูง	79
5.10	กราฟแรงปฎิกิริยาและเวลาของโครงสร้างทั้ง 3 แบบ จากการทดสอบกระแทก ด้วยความเร็วสูง	80
5.11	ลักษณะการเสียหายของโครงสร้างทั้ง 3 แบบ จากการจำลองด้วย FEA ภายใต้ การกระแทกด้วยความเร็วสูง	80
5.12	กราฟแรงปฎิกิริยาและเวลาของโครงสร้างทั้ง 3 แบบ จากการจำลองด้วย FEA ภายใต้การกระแทกด้วยความเร็วสูง	81
5.13	แสดงรูปแบบการเสียหายของโครงสร้างด้านข้างรถยนต์โดยสารภายใต้ภาระชน ในแนวตั้งจาก	84

## สารบัญภาค (ต่อ)

หน้า

### ภาคที่

5.14	กราฟการและระยะบุบตัวที่ได้จากแบบจำลองทาง FEA ของโครงสร้างภายใต้การชนในแนวตั้งจาก	85
5.15	แสดงรูปแบบการเสียหายของโครงสร้างด้านข้างโดยนต์โดยสารภายใต้การชนในแนวแกน	86
5.16	กราฟการและระยะบุบตัวที่ได้จากแบบจำลองทาง FEA ของโครงสร้างภายใต้การชนในแนวแกน	87
5.17	แสดงรูปแบบการเสียหายของโครงสร้างหลังคาที่ต้องแบบบนและต่อบนเนียงภายใต้การชน 3 แบบ	89
5.18	แสดงกราฟความสัมพันธ์ระหว่างแรงปฎิกิริยา กับระยะบุบตัวของโครงสร้างหลังคาที่ต้องแบบบนและแบบเนียงภายใต้การชนในแนวแกน	90
5.19	แสดงกราฟความสัมพันธ์ระหว่างแรงปฎิกิริยา กับระยะบุบตัวของโครงสร้างหลังคาที่ต้องแบบบนและแบบเนียงภายใต้การชนตัด	91
5.20	แสดงกราฟความสัมพันธ์ระหว่างแรงปฎิกิริยา กับระยะบุบตัวของโครงสร้างหลังคาที่ต้องแบบบนและแบบเนียงภายใต้การบิด	92
5.21	แสดงรูปแบบการเสียหายของโครงสร้างหลังคาที่เสริมความแข็งแรงด้วยเหล็กหน้าตัด 4 แบบ ทดสอบภายใต้การชนในแนวแกน	95
5.22	แสดงผลการทดสอบการชนในแนวแกนของโครงสร้างหลังคาแบบบนที่ติดตั้งส่วนเสริมความแข็งแรงแบบหน้าตัดต่างๆ	96
5.23	แสดงรูปแบบการเสียหายจากการชนของโครงสร้างประกอบที่ต้องจากโครงสร้างด้านข้างและโครงสร้างหลังคาแบบต่างๆ	98
5.24	แสดงกราฟของแรงปฎิกิริยา และระยะบุบตัวของโครงสร้างประกอบที่ต้องจากโครงสร้างด้านข้างกับโครงสร้างหลังคาแบบต่างๆ	99
5.25	แสดงรูปแบบการเสียหายจากการทดสอบการชนของโครงสร้างประกอบที่มีชิ้นส่วนยึดต่อแบบต่างๆ	102
5.26	กราฟแรงปฎิกิริยา และระยะบุบตัวของโครงสร้างประกอบที่มีชิ้นส่วนยึดต่อแบบต่างๆ	103

## คำอธิบายสัญลักษณ์และคำย่อ

สัญลักษณ์	ความหมาย	หน่วย
$P_{cr}$	ภาระวิกฤติ (Collapse load or Critical load)	[N], [N.m]
$P_{min}$	ภาระน้อยที่สุด (Minimum Load)	[N], [N.m]
$P_{max}$	ภาระสูงสุด (Maximum Load)	[N], [N.m]
$P_{mean}$	ภาระเฉลี่ย (Mean Crushing Load)	[N], [N.m]
$P_e$	ประสิทธิภาพเชิงภาระ (Load Efficiency)	[%]
$E_{max}$	พลังงานสูงสุด (Maximum Energy)	[N.m]
$E_a$	พลังงานคุณดัชนีเฉลี่ย (Average Energy Absorption)	[N.m]
$E_s$	พลังงานคุณดัชนีจำเพาะ (Specific Energy Absorption)	[N.m/kg]
$E_c$	ประสิทธิภาพเชิงพลังงาน (Energy Efficiency)	[%]
$SE$	ประสิทธิภาพการยุบตัว (Stroke Efficiency)	[%]
$Rad$	มุม	[Radian]
$Stroke$	ระยะยุบตัว (Displacement)	[mm]
$v$	ความเร็ว (Velocity)	[m/s]
$a$	ความเร่ง (acceleration)	[m/s <sup>2</sup> ]
FEA	Finite Element Analysis	-
$Mass$	มวล	[kg]
$A$	พื้นที่ (Area)	[m <sup>2</sup> ]
$\sigma$	ความเค้นทางวิศวกรรม (Engineering Stress)	[N/m <sup>2</sup> ]
$F$	ค่าแรงที่กระทำตามแนวแกน	[N]
$\varepsilon$	ค่าความเครียดทางวิศวกรรม (Engineering Strain)	-
$l$	ความยาวสุดท้าย	[m]
$l_0$	ความยาวเดิมของชิ้นทดสอบ	[m]
$\Delta l$	การเปลี่ยนแปลงความยาวจากการยืดตัว	[m]
$E$	ค่าโมดูลส์ความยืดหยุ่น (Modulus of Elasticity)	[GN/m <sup>2</sup> ]
$\sigma'$	ค่าความเค้นจริง (True Stress)	[N/m <sup>2</sup> ]
$\varepsilon'$	ความเครียดจริง (True Strain)	-

## คำอธิบายสัญลักษณ์และคำย่อ (ต่อ)

$\varepsilon^{pl}$	การเปลี่ยนแปลงความเครียด (Plastic Strain)	-
HIC	ค่าการบาดเจ็บของศีรษะและคอ (Head Injury Criterion)	-
(a/g)	อัตราส่วนความเร่งต่อค่าแรงดึงดูด	-